

# 甜茶的化学成分及其 $\alpha$ -葡萄糖苷酶抑制活性研究

阳丙媛, 何瑞杰, 王亚凤, 颜小捷, 黄永林\*

(广西植物功能物质与资源持续利用重点实验室, 广西壮族自治区中国科学院广西植物研究所, 广西 桂林 541006)

**摘要:** 为探究甜茶 (*Rubus suavissimus*) 中具有  $\alpha$ -葡萄糖苷酶抑制活性的次级代谢产物, 该文利用多种现代色谱分离技术对其干燥叶进行提取分离纯化, 综合运用质谱、核磁共振波谱分析方法确定了单体化合物的结构, 同时, 对分离得到的化合物进行了  $\alpha$ -葡萄糖苷酶抑制活性的测试。结果表明: (1) 从甜茶的干燥叶中分离鉴定出 10 个化合物, 分别为甜茶苷(1)、山奈酚-3-O-洋槐糖苷(2)、没食子酸(3)、二聚松柏醇(4)、5-甲氧基二聚松柏醇(5)、云实酸(6)、斯替维单糖苷(7)、斯替维醇(8)、16  $\alpha$ , 17-二羟基对映贝壳杉烷(9)、槲皮素-3-O- $\beta$ -D-吡喃半乳糖苷(10), 其中化合物 2、4、5、9 为首次从甜茶中分离得到; (2)  $\alpha$ -葡萄糖苷酶抑制活性测试结果显示, 化合物 2、3、5、6、10 具有较强的  $\alpha$ -葡萄糖苷酶抑制活性。该研究丰富了甜茶中具有  $\alpha$ -葡萄糖苷酶抑制活性的化合物, 为降血糖相关产品的开发提供了理论依据。

**关键词:** 甜茶,  $\alpha$ -葡萄糖苷酶, 悬钩子属, 蔷薇科, 糖尿病

中文分类号: Q946

文献标识码:

文章编号:

## Chemical constituents from *Rubus suavissimus* and their $\alpha$ -glucosidase inhibitory activity

YANG Bingyuan, HE Ruijie, WANG Yafeng, YAN Xiaojie, HUANG Yonglin

(Guangxi Key Laboratory of Plant Functional Phytochemicals and Sustainable Utilization, Guangxi Institute of Botany, Guangxi Zhuang Autonomous Region and Chinese Academy of Sciences, Guilin 541006, Guangxi, China)

**基金项目:** 广西科学院基本科研业务费项目 (CQZ-C-1901); 广东省重点领域研发计划资助 (2020B1111110003)[Supported by Basic research fund of Sciences(CQZ-C-1901);Key-Area Research and Development Program of Guangdong Province(2020B1111110003)].

**第一作者:** 阳丙媛 (1990-), 硕士, 助理研究员, 主要从事天然产物化学研究, (E-mail) 616480587@qq.com。

**\*通信作者:** 黄永林, 研究员, 主要从事天然产物研究与开发, (E-mail) hyl@gxib.cn。

**Abstract:** *Rubus suavissimus* is mainly distributed in Guilin, Liuzhou, Wuzhou and other regions in Guangxi Zhuang Autonomous Region, so it is called as “Guangxi tiancha” in Chinese. *R. suavissimus*, together with *Siraitia grosvenorii* and *Stevia rebaudiana* are praised as three famous sweet plants in Guangxi Zhuang Autonomous Region. Zhuang and Yao people use the leaves of *R. suavissimus* as a tea to treat diabetes, and it is known as the “divine tea” of Yao medicine. Therefore, *R. suavissimus* is a combination of sugar, tea and medicine, which has great potential for the development of food and medicine. In order to investigate the secondary metabolites with  $\alpha$ -glucosidase inhibitory activity from *R. suavissimus*, herein, the extraction, separation and purification of secondary metabolites were performed on the leaves of *R. suavissimus*. The structures of purified compounds were determined based on the data of mass spectrometry (HR-ESI-MS) and nuclear magnetic resonance ( $^1\text{H}$  NMR and  $^{13}\text{C}$  NMR). In addition, the  $\alpha$ -glucosidase inhibitory activity of the purified compounds were evaluated by pharmacological methods simultaneously. The results were as follows: (1) Ten compounds were purified and their structures were elucidated as rubusoside (**1**), kaempferol 3-*O*-robinobioside (**2**), gallic acid (**3**), dehydroconiferyl alcohol (**4**), 5-methoxydehydroconiferyl alcohol (**5**), brevifolincarboxylic acid (**6**), steviolmonoside (**7**), steviol (**8**), 16  $\alpha$ , 17-dihydroxykaurane (**9**), and quercetin 3-*O*- $\beta$ -D-galactopyranoside (**10**). (2) Among them, compounds **2**, **4**, **5** and **9** were isolated from *R. suavissimus* for the first time. Compounds **2**, **3**, **5**, **6** and **10** showed strong inhibitory activity on  $\alpha$ -glucosidase. The  $\text{IC}_{50}$  values of compounds **2**, **3**, **5**, **6** and **10** were  $(0.14 \pm 0.03) \text{ mg} \cdot \text{mL}^{-1}$ ,  $(0.36 \pm 0.02) \text{ mg} \cdot \text{mL}^{-1}$ ,  $(0.44 \pm 0.01) \text{ mg} \cdot \text{mL}^{-1}$ ,  $(0.53 \pm 0.04) \text{ mg} \cdot \text{mL}^{-1}$  and  $(0.14 \pm 0.03) \text{ mg} \cdot \text{mL}^{-1}$  respectively, which were stronger than the positive control acarbose with the  $\text{IC}_{50}$  values as  $(0.69 \pm 0.02) \text{ mg} \cdot \text{mL}^{-1}$ . Thus, compounds **2**, **3**, **5**, **6** and **10**, which were isolated from the leaves of *R. suavissimus*, could be a potential  $\alpha$ -glucosidase inhibitors base on their bioactivity results. Compounds with  $\alpha$ -glucosidase inhibitory activity from *R. suavissimus* will provide the basis for development of hypoglycemic related products.

**Key words:** *Rubus suavissimus*,  $\alpha$ -glucosidase, *Rubus*, Rosaceae, diabetes

甜茶 (*Rubus suavissimus*), 为蔷薇科悬钩子属植物 (Liu et al., 2020), 主要分布于广西桂林、柳州、梧州等地区, 故又被称为广西甜茶 (闫志刚等, 2017), 与罗汉果、甜叶菊并称广西三大甜味植物。壮族和瑶族人民将其作为茶饮用于治疗糖尿病, 被誉为瑶药中的“神

茶”(郑华等, 2019)。壮医记载其具有解热毒, 通龙路, 调气道、水道的功效(广西壮族自  
治区壮药质量标准, 2011)。甜茶集糖、茶、药于一体, 极具食品及药品开发的潜力。

随着生活水平的提高和老龄化进程的加快, 糖尿病已经成为严重影响人类身体健康和生活质量的慢性疾病。为了维持血糖处于正常水平, 糖尿病患者需要长期服用降血糖药物, 以避免因高血糖而导致的并发症, 如器官损伤、甚至衰竭等。 $\alpha$ -葡萄糖苷酶抑制剂是一种重要的降血糖药物, 临床一线药物有阿卡波糖、伏格列波糖等, 但是这类药物易导致胃肠道紊乱、肝功能受损等(朱月霞等, 2021)。因此, 研发安全的新型 $\alpha$ -葡萄糖苷酶抑制剂对糖尿病的治疗具有重要意义。现代化学和药理学研究表明, 甜茶的主要化学成分为萜类、黄酮类、酚酸类, 具有降血糖、抗过敏、抗炎等生物活性(吴家超等, 2021)。当前, 对甜茶降血糖作用的相关研究多见于其提取物(蒙淑洁等, 2019; Su et al., 2020; 吴婕和宫江宁, 2021), 而对甜茶中的 $\alpha$ -葡萄糖苷酶抑制作用的物质基础研究较少(Liu et al., 2020), 潜在的活性物质尚待开发。甜茶作为降糖茶饮的历史悠久, 为了丰富其具有 $\alpha$ -葡萄糖苷酶抑制作用的活性物质基础, 本研究综合运用现代色谱分离技术对甜茶叶进行系统分离, 进而对分离得到的化合物单体进行活性研究, 以期发现更多具有 $\alpha$ -葡萄糖苷酶抑制活性的化合物, 为后续相关降血糖产品的开发提供科学的理论依据。

## 1 仪器与方法

### 1.1 材料

样品于2019年7月采集于广西壮族自治区桂林市灌阳县, 经广西植物研究所唐辉研究员鉴定为甜茶(*Rubus suavissimus*)的叶子, 样品的标本保存于广西植物功能物质与资源持续利用重点实验室(标本号: 20190753)。

### 1.2 仪器和试剂

XS205 DualRange 分析天平(瑞士苏黎世的梅特勒-托利多集团), LCMS-IT-TOF 高分辨质谱仪(日本岛津公司), Avance III HD 500 MHz 核磁共振波谱仪(德国布鲁克公司), LC-20AT 高效液相色谱仪(日本岛津公司), 旋转蒸发仪(日本东京理化公司), CF810C 冷却水循环仪(日本雅马拓公司), SP-MAX3500FL 多功能酶标仪(上海闪谱生物科技有限公司)。

阿卡波糖(上海源叶生物科技有限公司), 对硝基苯- $\alpha$ -D-吡喃葡萄糖苷(*p*NPG, 上海源叶生物科技有限公司),  $\alpha$ -葡萄糖苷酶(美国西格玛奥德里奇公司), 无水碳酸钠(西陇化工股份有限公司), 磷酸缓冲液(PBS, 北京索莱宝科技有限公司), 分析甲醇(西陇化工股份有限公司), 分析乙醇(西陇化工股份有限公司), 色谱甲醇(美国斯百全公司), 色谱

乙腈（美国斯百全公司）。

### 1.3 提取与分离

取甜茶的干燥叶（5.5 kg），加入 95%乙醇溶液于室温下浸泡提取 3 次，每次 7 d，合并提取液，减压回收溶剂后得到总浸膏（432.2 g）。总浸膏中加入 40%乙醇水溶液，充分溶解，静置分层，弃去下层沉淀物，将上清液减压回收溶剂至无醇味后，经凝胶柱 Sephadex LH-20（10 cm × 30 cm），以甲醇-水溶液（0% ~ 100%，V/V）为洗脱剂进行梯度洗脱，在薄层色谱分析指导下合并洗脱液，得到 11 个组分 Fr.1-Fr.11。

Fr.4 (21.9 g) 以树脂 DIAION HP20SS 色谱柱（4 cm × 30 cm）进行分离，以甲醇-水（0% ~ 100%，V/V）为洗脱剂进行梯度洗脱，得到化合物 **1** (5.5 g)。Fr.6 (8.1 g) 经过 MCI 柱（3 cm × 23 cm），甲醇-水溶液（0% ~ 100%，V/V）梯度洗脱，得到 Fr.61-Fr.66。Fr.61 经 Sephadex LH-20 柱，甲醇-水溶剂分离，得到化合物 **3** (66.0 mg)。Fr.62 经甲醇溶剂反复结晶得到化合物 **6** (46.2 mg)。Fr.63 依次经 MCI 柱（甲醇-水溶液，0% ~ 100%，V/V）、HPLC 液相色谱柱（50%甲醇-水溶液，V/V）纯化得到化合物 **2** (5.9 mg)。Fr.64 经 HPLC 液相色谱柱，以 25%乙腈-水溶液等度洗脱（V/V），纯化得到化合物 **4** (30.7 mg) 和 **5** (6.0 mg)。Fr.65 经 ODS 柱色谱分离（甲醇-水溶液，0% ~ 100%，V/V），得到化合物 **7** (78.3 mg)。Fr.66 经 ODS 柱色谱，以甲醇-水溶液进行梯度洗脱（0% ~ 100%，V/V），得到化合物 **8** (26.7 mg)。Fr.5 (4.6 g) 以 ODS 色谱柱进行分离，甲醇-水（0% ~ 100%，V/V）为洗脱剂进行梯度洗脱；再经 Sephadex LH-20 色谱柱纯化，得到化合物 **9** (59.8 mg)。Fr.8 (5.4 g) 以 MCI 色谱柱进行分离，甲醇-水（0% ~ 100%，V/V）为洗脱剂进行梯度洗脱，得到化合物 **10** (23.6 mg)。

### 1.4 $\alpha$ -葡萄糖苷酶抑制活性测试

$\alpha$ -葡萄糖苷酶抑制活性测试参考文献（Pan et al., 2020；梁森林等，2022）的方法，并作适当调整，以阿卡波糖为阳性对照药，对硝基苯- $\alpha$ -D-吡喃葡萄糖苷（PNPG, 1 mmol · L<sup>-1</sup>）为底物，磷酸缓冲液（PBS, 50 mmol · L<sup>-1</sup>）为溶剂系统， $\alpha$ -葡萄糖苷酶配置成 0.25 U · mL<sup>-1</sup>。实验设置 4 个组：样品组、样品背景对照组、空白组和空白对照组，按表 1 的反应体系进行活性测试。具体步骤如下：首先，取 96 孔板，样品组依次加入样品溶液 40  $\mu$ L、 $\alpha$ -葡萄糖苷酶溶液 20  $\mu$ L，样品背景对照组依次加入样品溶液 40  $\mu$ L、PBS 缓冲液 20  $\mu$ L，空白组依次加入  $\alpha$ -葡萄糖苷酶溶液 20  $\mu$ L、PBS 缓冲液 40  $\mu$ L，空白对照组加入 PBS 缓冲液 60  $\mu$ L，接着将加液后的 96 孔板置于恒温箱中于 37 °C 条件下平衡 5 min，取出，再向各实验组加入 PNPG 溶液 50  $\mu$ L，并将其置于恒温箱中于 37 °C 条件下反应 30 min，取出，向各实验组加入 Na<sub>2</sub>CO<sub>3</sub> 溶液 50  $\mu$ L 终止反应，于 405 nm 波长下测定并读取吸光度值，样品组的吸光度值记

为 A<sub>1</sub>、样品背景对照组的吸光度值记为 A<sub>2</sub>、空白组的吸光度值记为 B<sub>1</sub>、空白对照组的吸光度值记为 B<sub>2</sub>。按如下公式计算抑制率：抑制率 = [1-(A<sub>1</sub>-A<sub>2</sub>)/(B<sub>1</sub>-B<sub>2</sub>)] × 100%。所有数据均平行测试 3 次，测试结果以平均值 ± 标准偏差表示。

表 1 α-葡萄糖苷酶抑制活性测试反应体系（单位：μL）  
Table 1 The reaction system of α-glucosidase inhibitory activity test (Unit: μL)

试剂	样品组	样品背景对照组	空白组	空白对照组
Reagent	Sample group	Sample background control group	Blank group	Blank control group
样品	40	40	—	—
Sample				
α-葡萄糖苷酶	20	—	20	—
α-glucosidase				
PBS	—	20	40	60
PNPG	50	50	50	50
Na <sub>2</sub> CO <sub>3</sub>	50	50	50	50

2 结果与分析

2.1 化合物的结构鉴定

化合物 **1** 白色粉末, HR-ESI-MS *m/z*: 665.311 5 [M + Na]<sup>+</sup> (calcd for C<sub>32</sub>H<sub>50</sub>O<sub>13</sub>Na, 665.314 4)。<sup>1</sup>H NMR (500 MHz, D<sub>2</sub>O) δ: 5.38 (1H, d, *J* = 7.8 Hz, 19-glc-H-1' ), 5.10 (1H, s, H-17a), 4.89 (1H, s, H-17b), 4.58 (1H, d, *J* = 7.5 Hz, 13-glc-H-1' ), 3.22-3.86 (sugar proton), 1.22 (3H, s, H-18), 0.90 (3H, s, H-20); <sup>13</sup>C NMR (125 MHz, D<sub>2</sub>O) δ: 178.6 (C-19), 153. 0 (C-16), 104.8 (C-17), 97.4 (13-glc-C-1' ), 94.1 (19-glc-C-1' ), 86.5 (C-13), 76.8 (19-glc-C-5' ), 76.3 (13-glc-C-3' ), 76.0 (19-glc-C-3' ), 75.8 (13-glc-C-5' ),73.3 (13-glc-C-2' ), 72.0 (19-glc-C-2' ), 69.8 (13-glc-C-4' ), 69.4 (19-glc-C-4' ), 60.9 (13-glc-C-6' ), 60.7 (19-glc-C-6' ), 57.1 (C-5), 53.5 (C-9), 47.2 (C-15), 44.0 (C-14), 43.9 (C-4), 42.1 (C-8), 41.0 (C-7), 40.5 (C-1), 39.3 (C-10), 37.7 (C-3), 36.3 (C-12), 28.1 (C-18), 21.4 (C-6), 20.4 (C-11), 18.8 (C-2), 15.0 (C-20)。以上数据与文献（王剑霞和吕华冲，2008）报道的基本一致，故化合物 **1** 鉴定为甜茶苷（图 1）。

化合物 **2** 黄色粉末, HR-ESI-MS *m/z*: 593.146 4 [M - H]<sup>-</sup> (calcd for C<sub>27</sub>H<sub>31</sub>O<sub>15</sub>, 593.151 2)。<sup>1</sup>H NMR (500 MHz, methanol-*d*<sub>4</sub>) δ: 8.04 (2H, d, *J* = 8.8 Hz, H-2' , 6' ), 6.83 (2H, d, *J* = 8.8 Hz, H-3' , 5' ), 6.31 (1H, s, H-8), 6.12 (1H, s, H-6), 4.95 (1H, d, *J* = 7.8 Hz, gal-H-1' ), 4.47

(1H, brs, rha-H-1''), 1.14 (3H, d,  $J = 6.2$  Hz, rha-H-6''), 3.22–3.76 (sugar proton);  $^{13}\text{C}$  NMR (125 MHz, methanol- $d_4$ )  $\delta$ : 180.0 (C-4), 168.4 (C-7), 163.4 (C-5), 162.2 (C-4'), 159.7 (C-9), 159.2 (C-2), 136.6 (C-3), 133.0 (C-2', 6'), 123.3 (C-1'), 116.8 (C-3', 5'), 106.3 (gal-C-1''), 105.7 (C-10), 102.5 (rha-C-1''), 101.2 (C-6), 94.0 (C-8), 76.0 (gal-C-5''), 75.7 (gal-C-3''), 74.5 (rha-C-4''), 73.6 (rha-C-2''), 72.9 (rha-C-3''), 72.7 (gal-C-2''), 70.8 (gal-C-4''), 70.3 (rha-C-5''), 68.1 (gal-C-6''), 18.6 (rha-C-6''). 以上数据与文献 (Hou et al., 2005) 报道的基本一致, 故化合物 **2** 鉴定为山奈酚-3-*O*-洋槐糖苷 (图 1)。

化合物 **3** 白色粉末, HR-ESI-MS  $m/z$ : 169.014 1  $[\text{M} - \text{H}]^-$  (calcd for  $\text{C}_7\text{H}_5\text{O}_5$ , 169.014 2)。 $^1\text{H}$  NMR (500 MHz, methanol- $d_4$ )  $\delta$ : 7.06 (2H, s, H-2, 6);  $^{13}\text{C}$  NMR (125 MHz, methanol- $d_4$ )  $\delta$ : 170.5 (C-7), 146.4 (C-3, 5), 139.8 (C-4), 121.9 (C-1), 110.5 (C-2, 6)。以上数据与文献 (吕闪闪等, 2018) 报道的基本一致, 故化合物 **3** 鉴定为没食子酸 (图 1)。

化合物 **4** 淡黄色的油状物, HR-ESI-MS  $m/z$ : 359.150 7  $[\text{M} - \text{H}]^-$  (calcd for  $\text{C}_{20}\text{H}_{23}\text{O}_6$ , 359.150 0)。 $^1\text{H}$  NMR (500 MHz, methanol- $d_4$ )  $\delta$ : 6.91 (1H, d,  $J = 1.8$  Hz, H-2), 6.78 (1H, dd,  $J = 8.2, 1.8$  Hz, H-6), 6.72 (1H, d,  $J = 8.2$  Hz, H-5), 6.68 (2H, s, H-2', H-6'), 5.45 (1H, d,  $J = 6.2$  Hz, H-7), 3.80 (3H, s, 3-OCH<sub>3</sub>), 3.76 (3H, s, 3' -OCH<sub>3</sub>), 3.71 (2H, m, H-9), 3.53 (2H, t,  $J = 6.5$  Hz, H-9'), 3.43 (1H, m, H-8), 2.58 (2H, m, H-7'), 1.77 (2H, m, H-8');  $^{13}\text{C}$  NMR (125 MHz, methanol- $d_4$ )  $\delta$ : 149.0 (C-3), 147.6 (C-4), 147.4 (C-2'), 145.2 (C-3'), 136.9 (C-5'), 134.8 (C-1), 129.8 (C-1'), 119.7 (C-6), 117.9 (C-6'), 116.1 (C-5), 114.0 (C-4'), 110.5 (C-2), 88.9 (C-7), 64.9 (C-9), 62.2 (C-9'), 56.7 (3-OCH<sub>3</sub>), 56.3 (3' -OCH<sub>3</sub>), 55.4 (C-8), 35.8 (C-8'), 32.9 (C-7')。以上数据与文献 (汪青青, 2013) 报道的基本一致, 故化合物 **4** 鉴定为二聚松柏醇 (图 1)。

化合物 **5** 淡黄色的油状物, HR-ESI-MS  $m/z$ : 413.151 1  $[\text{M} + \text{Na}]^+$  (calcd for  $\text{C}_{21}\text{H}_{26}\text{O}_7\text{Na}$ , 413.157 1)。 $^1\text{H}$  NMR (500 MHz, methanol- $d_4$ )  $\delta$ : 6.73 (2H, d,  $J = 2.2$  Hz, H-2, H-6), 6.68 (2H, s, H-2', H-6'), 5.50 (1H, d,  $J = 6.2$  Hz, H-7), 3.86 (3H, s, 3' -OCH<sub>3</sub>), 3.85 (2H, m, H-9), 3.81 (6H, s, 3-OCH<sub>3</sub>, 5-OCH<sub>3</sub>), 3.57 (2H, t,  $J = 6.4$  Hz, H-9'), 3.47 (1H, m, H-8), 2.63 (2H, m, H-7'), 1.82 (2H, m, H-8');  $^{13}\text{C}$  NMR (125 MHz, methanol- $d_4$ )  $\delta$ : 149.3 (C-3), 149.3 (C-5), 147.5 (C-3'), 145.2 (C-4'), 137.0 (C-4), 134.0 (C-1), 134.0 (C-1'), 129.8 (C-5'), 117.9 (C-6'), 114.1 (C-2'), 104.1 (C-2, 6), 89.1 (C-7), 65.0 (C-9), 62.6 (C-9'), 56.8 (C-8),



56.7 (3-OCH<sub>3</sub>), 56.7 (5-OCH<sub>3</sub>), 55.6 (3' -OCH<sub>3</sub>), 35.8 (C-8' ), 32.9 (C-7' )。以上数据与文献 (汪青青, 2013) 报道的基本一致, 故化合物 **5** 鉴定为 5-甲氧基二聚松柏醇 (图 1)。

化合物 **6** 黄色粉末, HR-ESI-MS  $m/z$ : 293.031 7 [M + H]<sup>+</sup> (calcd for C<sub>13</sub>H<sub>9</sub>O<sub>8</sub>, 293.029 2)。<sup>1</sup>H NMR (500 MHz, DMSO)  $\delta$ : 10.92 (1H, s, -OH), 10.10 (2H, s, -OH  $\times$  2), 7.28 (1H, s, H-3' ), 4.34 (1H, brs, H-4), 2.98 (1H, dd,  $J$  = 18.7, 7.6 Hz, H-5a), 2.42 (1H, d,  $J$  = 18.7 Hz, H-5b); <sup>13</sup>C NMR (125 MHz, DMSO)  $\delta$ : 193.5 (C-1), 173.7 (C-6), 160.4 (C-7' ), 149.7 (C-2), 145.8 (C-4' ), 143.9 (C-6' ), 140.3 (C-3), 139.2 (C-5' ), 115.3 (C-2' ), 113.2 (C-1' ), 108.1 (C-3' ), 41.1 (C-4), 37.6 (C-5)。以上数据与文献 (Tanaka et al., 1990) 报道的基本一致, 故化合物 **6** 鉴定为云实酸 (图 1)。

化合物 **7** 白色粉末, HR-ESI-MS  $m/z$ : 479.258 3 [M - H]<sup>-</sup> (calcd for C<sub>26</sub>H<sub>39</sub>O<sub>8</sub>, 479.265 0)。<sup>1</sup>H NMR (500 MHz, methanol-*d*<sub>4</sub>)  $\delta$ : 5.20 (1H, s, H-17a), 4.87 (1H, s, H-17b), 4.51 (1H, d,  $J$  = 7.8 Hz, 13-glc-H-1' ), 1.20 (3H, s, H-18), 0.99 (3H, s, H-20); <sup>13</sup>C NMR (125 MHz, methanol-*d*<sub>4</sub>)  $\delta$ : 181.6 (C-19), 154.0 (C-16), 105.5 (C-17), 99.2 (13-glc-C-1' ), 87.6 (C-13), 78.1 (13-glc-C-3' ), 77.6 (13-glc-C-5' ), 75.2 (13-glc-C-2' ), 71.6 (glc-C-4' ), 62.7 (glc-C-6' ), 58.1 (C-5), 55.2 (C-9), 49.0 (C-15), 45.1 (C-14), 44.6 (C-4), 43.2 (C-8), 42.6 (C-7), 41.9 (C-1), 40.6 (C-10), 39.1 (C-3), 38.7 (C-12), 29.5 (C-18), 23.0 (C-6), 21.4 (C-11), 20.3 (C-2), 16.2 (C-20)。以上数据与文献 (Ohtani et al., 1992) 报道的基本一致, 故化合物 **7** 鉴定为斯替维单糖苷 (图 1)。

化合物 **8** 白色粉末, HR-ESI-MS  $m/z$ : 317.211 0 [M - H]<sup>-</sup> (calcd for C<sub>20</sub>H<sub>29</sub>O<sub>3</sub>, 317.212 2)。<sup>1</sup>H NMR (500 MHz, chloroform-*d*)  $\delta$ : 4.98 (1H, s, H-17a), 4.81 (1H, s, H-17b), 1.23 (3H, s, H-18), 0.95 (3H, s, H-20); <sup>13</sup>C NMR (125 MHz, chloroform-*d*)  $\delta$ : 183.4 (C-19), 155.8 (C-16), 103.2 (C-17), 80.5 (C-13), 57.0 (C-5), 54.0 (C-9), 47.6 (C-15), 47.1 (C-14), 43.7 (C-4), 41.9 (C-8), 41.4 (C-7), 40.6 (C-1), 39.6 (C-12), 39.5 (C-10), 37.9 (C-3), 29.0 (C-18), 21.9 (C-6), 20.6 (C-11), 19.2 (C-2), 15.6 (C-20)。以上数据与文献 (Ohtani et al., 1992) 报道的基本一致, 故化合物 **8** 鉴定为斯替维醇 (图 1)。

化合物 **9** 黄色粉末。HR-ESI-MS  $m/z$ : 329.246 4 [M + Na]<sup>+</sup> (calcd for C<sub>20</sub>H<sub>34</sub>O<sub>2</sub>Na, 329.244 2)。<sup>1</sup>H NMR (500 MHz, methanol-*d*<sub>4</sub>)  $\delta$ : 3.71 (1H, d,  $J$  = 11.3 Hz, H-17a), 3.61 (1H, d,  $J$  = 11.3 Hz, H-17b), 1.10 (3H, s), 1.07 (3H, s), 1.03 (3H, s); <sup>13</sup>C NMR (125 MHz, methanol-*d*<sub>4</sub>)  $\delta$ : 82.8 (C-16), 66.8 (C-17), 56.8 (C-5), 56.8 (C-9), 53.4 (C-15), 46.2 (C-13), 45.5 (C-8), 42.1 (C-1), 42.1 (C-3), 40.3 (C-14), 39.7 (C-10), 37.8 (C-7), 34.9 (C-4), 34.9 (C-18), 27.1 (C-12), 22.7 (C-19),

21.3 (C-6), 19.8 (C-2, 11), 18.4 (C-20)。以上数据与文献 (Etse et al., 1987) 报道的基本一致, 故化合物 **9** 鉴定为 16  $\alpha$ , 17-二羟基对映贝壳杉烷 (图 1)。

化合物 **10** 黄色粉末, HR-ESI-MS  $m/z$ : 463.086 0  $[M - H]^-$  (calcd for  $C_{21}H_{19}O_{12}$ , 463.088 2)。  
 $^1H$  NMR (500 MHz, methanol- $d_4$ )  $\delta$ : 7.85 (1H, d,  $J = 2.3$  Hz, H-2'), 7.60 (1H, dd,  $J = 8.4, 2.3$  Hz, H-6'), 6.88 (1H, d,  $J = 8.4$  Hz, H-5'), 6.41 (1H, d,  $J = 2.2$  Hz, H-8), 6.22 (1H, d,  $J = 2.2$  Hz, H-6), 5.17 (1H, d,  $J = 7.8$  Hz, gal-H-1''), 3.48-3.87 (6H, m, gal-H-2''-6'');  $^{13}C$  NMR (125 MHz, methanol- $d_4$ )  $\delta$ : 179.6 (C-4), 166.0 (C-7), 163.0 (C-5), 158.8 (C-2), 158.4 (C-9), 145.0 (C-4'), 145.8 (C-3'), 135.8 (C-3), 123.0 (C-6'), 122.9 (C-1'), 117.8 (C-5'), 116.1 (C-2'), 105.6 (C-10), 105.4 (gal-C-1''), 99.9 (C-6), 94.7 (C-8), 77.2 (gal-C-5''), 75.1 (gal-C-3''), 73.2 (gal-C-2''), 70.0 (gal-C-4''), 62.0 (gal-C-6'')。以上数据与文献 (张维库等, 2007) 报道的基本一致, 故化合物 **10** 鉴定为槲皮素-3- $O$ - $\beta$ -D-吡喃半乳糖苷 (图 1)。

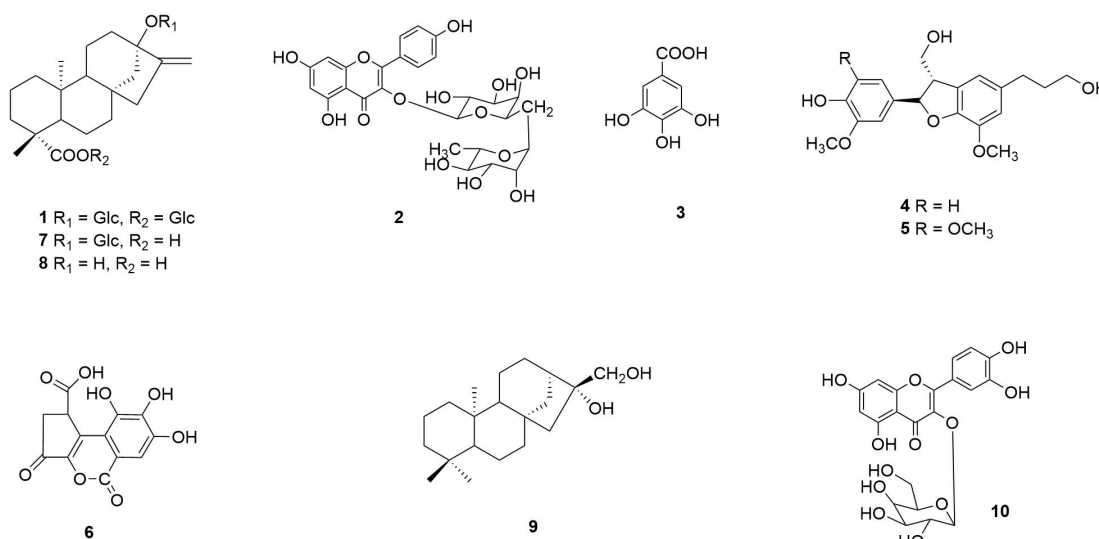


图 1 化合物 **1-10** 的化学结构式

Fig.1 Chemical structures of compounds **1-10**

## 2.2 $\alpha$ -葡萄糖苷酶抑制活性测试结果

$\alpha$ -葡萄糖苷酶的抑制活性测试结果显示, 化合物 **2**、**3**、**5**、**6** 和 **10** 具有较强的活性,  $IC_{50}$  值分别为  $(0.14 \pm 0.03) \text{ mg} \cdot \text{mL}^{-1}$ 、 $(0.36 \pm 0.02) \text{ mg} \cdot \text{mL}^{-1}$ 、 $(0.44 \pm 0.01) \text{ mg} \cdot \text{mL}^{-1}$ 、 $(0.53 \pm 0.04) \text{ mg} \cdot \text{mL}^{-1}$  和  $(0.14 \pm 0.03) \text{ mg} \cdot \text{mL}^{-1}$ , 均优于阳性对照 (阿卡波糖,  $IC_{50}$  值为  $(0.69 \pm 0.02) \text{ mg} \cdot \text{mL}^{-1}$ )。具体活性测试结果见表 2。

表 2  $\alpha$ -葡萄糖苷酶抑制活性的测试结果

Table 2 Results of  $\alpha$ -glucosidase inhibitory activity

化合物	$IC_{50} \pm SD (\text{mg} \cdot \text{mL}^{-1})$	化合物	$IC_{50} \pm SD (\text{mg} \cdot \text{mL}^{-1})$
-----	---	-----	---



Compound		Compound	
1	> 4	6	0.53 ± 0.04**
2	0.14 ± 0.03	7	> 4
3	0.36 ± 0.02	10	0.14 ± 0.03**
4	> 4	阿卡波糖 <sup>a</sup>	0.69 ± 0.02
5	0.44 ± 0.01*	Acarbose <sup>a</sup>	

注：<sup>a</sup>表示阳性对照；\*\*和\*表示与阳性对照组比较，\*\* $P < 0.01$ ，\* $P < 0.05$ 。

Note: <sup>a</sup> indicates positive control; \*\* and \* indicate comparisons with positive control group, \*\* $P < 0.01$ , \* $P < 0.05$ .

3 讨论与结论

$\alpha$ -葡萄糖苷酶抑制剂通过抑制小肠黏膜细胞的  $\alpha$ -葡萄糖苷酶的活性，降低葡萄糖的生成速度，从而减少小肠对葡萄糖的吸收以降低血糖，然而当前临床使用的该类药物具有较严重的副作用（朱月霞等，2021），因此，开发新型、安全、有效的  $\alpha$ -葡萄糖苷酶抑制剂对糖尿病的治疗具有重要意义，寻找天然的  $\alpha$ -葡萄糖苷酶抑制剂成为研究的热点（Quan et al., 2020; Yuca et al., 2021; 朱运平等，2011）。本研究基于甜茶提取物对  $\alpha$ -葡萄糖苷酶具有抑制作用（吴婕等，2021），对其开展化学成分及生物活性研究，从甜茶叶中分离得到 10 个化合物，化合物 2、4、5、9 为首次从甜茶中分离得到。其中，化合物 2 和 10 为黄酮苷类，化合物 3 和 6 为酚酸类，活性测试结果显示化合物 2、3、6 和 10 均具有较强的  $\alpha$ -葡萄糖苷酶抑制活性，与文献报道一致（Liu et al., 2019; 岳丹伟，2021; Lin et al., 2022; 薛深等，2023），化合物 5 为木脂素类，具有较强的  $\alpha$ -葡萄糖苷酶抑制活性，为首次报道。化合物 5 的结构与化合物 4 的相比，仅在 C-5 为多了一个甲氧基，化合物 5 表现出较强的活性，而化合物 4 在相同测试浓度下无活性，推测 C-5 位的甲氧基是关键的活性基团。

甜茶作为茶饮有悠久的历史，其主要成分甜茶苷的甜度是蔗糖的 300 倍，热量仅为蔗糖的 1%（马建春等，2008），具有高甜度、低热量的特点，是糖尿病患者理想的甜味剂，发达国家正大力开发相关产品，例如日本已有多种饮料、糖果和药品已上市（朱明婧等，2015）。而本研究从甜茶中发现了具有较好的  $\alpha$ -葡萄糖苷酶抑制活性的化学成分，进一步证实了其具有降血糖作用，为甜茶开发降血糖功能食品或降血糖药物提供了科学依据。

参考文献:

ETSE JT, GRAY A, WATERMAN PG, 1987. Chemistry in the Annonacesa, XXIV. Kaurane and kaur-16-ene diterpenes from the stem bark of *Annona reticulata*[J]. J Nat Pro, 50(5): 979-983.

Guangxi Food and Drug Administration, 2011. Zhuang Medicine Quality Standards of Guangxi Autonomous Region: Vol. 2 [S]. Nanning: Guangxi Science & Technology Press: 269. [广西

chinaXiv:202306.00041v1

- 壮族自治区食品药品监督管理局, 2011. 广西壮族自治区壮药质量标准: 第二卷[S]. 南宁: 广西科学技术出版社: 269.]
- HOU WC, LIN RD, LEE TH, et al., 2005. The phenolic constituents and free radical scavenging activities of *Gynura formosana* Kiamnra[J]. J Sci Food Agric, 85(4): 615-621.
- LIU MZ, LI XJ, LIU Q, et al., 2020. Comprehensive profiling of  $\alpha$ -glucosidase inhibitors from the leaves of *Rubus suavissimus* using an off-line hyphenation of HSCCC, ultrafiltration HPLC-UV-MS and prep-HPLC[J]. J Food Compost Anal, 85: 103336.
- LÜ SS, WANG X, YE QZ, et al., 2018. Chemical constituents from the leaves of *Terminalia catappa* and their hypoglycemic activities[J]. Chin Trad Pat Med, 40(12): 2693-2697. [吕闪闪, 王璇, 叶全知, 等, 2018. 大叶榄仁叶化学成分及其降糖活性[J]. 中成药, 40(12): 2693-2697.]
- LIU MZ, HUANG XQ, LIU Q, et al., 2019. Separation of  $\alpha$ -glucosidase inhibitors from *Potentilla kleiniana* Wight et Arn using solvent and flow-rate gradient high-speed counter-current chromatography target-guided by ultrafiltration HPLC-MS screening[J]. Phytochem Anal, 30: 661-668.
- LIN YT, LIN HR, YANG CS, et al., 2022. Antioxidant and anti- $\alpha$ -glucosidase activities of various solvent extracts and major bioactive components from the fruits of *Crataegus pinnatifida*[J]. Antioxidants, 11: 320.
- LIANG SL, HUANG YL, HE RJ, et al., 2022. Separation and preparation of alkaloids with inhibitory activity of  $\alpha$ -glucosidase from *Sophora tonkinensis* by pH-zone-refining counter-current chromatography[J]. Guihaia, 42(9): 1459-1465. [梁森林, 黄永林, 何瑞杰, 等, 2022. pH 区带精制逆流色谱法分离制备越南槐中具有抑制  $\alpha$ -糖苷酶活性的生物碱[J]. 广西植物, 2022, 42(9): 1459-1465.]
- MENG SJ, YAN ZG, XU YL, et al., 2019. Effects of extract of *Rubus Suavissimus* S. Lee on blood sugar and glucose tolerance in mice[J]. Hubei Agric Sci, 58(20): 118-120. [蒙淑洁, 闫志刚, 徐永莉, 等, 2019. 广西甜茶醇提物对小鼠血糖及糖耐量的影响[J]. 湖北农业科学, 58(20): 118-120.]
- MA JC, HE W, WU ZF, 2008. Progress on rubusoside in *Rubus suavissimu* S. Lee[J]. Food Drug, 10(5): 73-75. [马建春, 何伟, 伍振峰, 2008. 甜茶素的研究进展[J]. 食品与药品, 10(5): 73-75.]
- OHTANI K, AIKAWA Y, KASAI R, et al., 1992. Minor diterpene glycosides from sweet leaves of *Rubus suavissimus*[J]. Phytochemistry, 31(5): 1553-1559.
- PAN ZH, NING DS, FU YX, et al., 2020. Preparative isolation of piceatannol derivatives from passion fruit (*Passiflora edulis*) seeds by high-speed countercurrent chromatography combined with high-performance liquid chromatography and screening for  $\alpha$ -glucosidase inhibitory activities[J]. J Agric Food Chem, 68(6): 1555-1562.
- QUAN YS, ZHANG XY, YIN XM, et al., 2020. Potential  $\alpha$ -glucosidase inhibitor from *Hylotelephium erythrostictum*[J]. Bioorg Med Chem Lett, 30(24): 127665.
- SU ZH, LING X, JI KW, et al., 2020. <sup>1</sup>H NMR-based urinary metabonomic study of the antidiabetic effects of *Rubus Suavissimus* S. Lee in STZ-induced T1DM rats[J]. J Chromatogr B, 1158: 122347.
- TANAKA T, NONAKA G, NISHIOKA I, 1990. Tannins and related compounds. C.<sup>1</sup>) Reaction of dehydrohexahydroxydiphenic acid esters with bases, and its application to the structure

- determination of pomegranate tannins, granatins A and B[J]. Chem Pharm Bull, 38(9): 2424-2428.
- WU JC, LI SP, ZHANG YY, et al., 2021. Research progress on chemical constituents and pharmacological effects of *Rubus suavissimus*[J]. China J Tradit Chin Med Pharm, 36(6): 3504-3508. [吴家超, 李水萍, 张永怡, 等, 2021. 民族药甜茶化学成分与药理作用研究进展[J]. 中华中医药杂志, 36(6): 3504-3508.]
- WU J, GONG JN, 2021. Purification of polyphenols from sweet tea by the macroporous resins and its inhibitory activity on  $\alpha$ -glucosidase and DPPH[J]. J Agric Sci Technol, 23(6): 113-119. [吴婕, 宫江宁, 2021. 大孔树脂纯化茶多酚及其对  $\alpha$ -葡萄糖苷酶抑制活性和 DPPH 抗氧化性的研究[J]. 中国农业科技导报, 23(6): 113-119.]
- WANG JX, LU HC, 2008. Studies on the diterpenoids of *Rubus suavissimus* S. Lee[J]. Lishizhen Med Mat Med Res, 19(3): 664-665. [王剑霞, 吕华冲, 2008. 广西甜茶二萜类成分的研究[J]. 时珍国医国药, 19(3): 664-665.]
- WANG QQ, 2013. Studies on chemical constituents of *Rhododendron seniavinii* Maxim[D]. Guangzhou: Jinan University. [汪青青, 2013. 满山白化学成分研究[D]. 广州: 暨南大学.]
- XUE S, WANG YJ, LIU FF, et al., 2023. Study on the inhibition mechanisms of gallic acid derivatives on  $\alpha$ -glucosidase[J]. J Zhejiang Norm Univ (Nat Sci Ed), 46(1): 74-80. [薛琛, 王怡婷, 刘芬芬, 等, 2023. 没食子酸衍生物抑制  $\alpha$ -葡萄糖苷酶的机理研究[J]. 浙江师范大学学报 (自然科学版), 46(1): 74-80.]
- YAN ZG, MENG SJ, WEI RC, et al., 2017. Current situation and application of *Rubus suavissimus*[J]. Chin Trad Herb Drugs, 48(12): 2572-2578. [闫志刚, 蒙淑洁, 韦荣昌, 等, 2017. 广西甜茶研究与应用现状[J]. 中草药, 48(12): 2572-2578.]
- YUCA H, ÖZBEK H, DEMIREZER LÖ, et al., 2021. *trans*-Tiliroside: a potent  $\alpha$ -glucosidase inhibitor from the leaves of *Elaeagnus angustifolia* L[J]. Phytochemistry, 188: 112795.
- YUE DW, 2021. Study on chemical constituents, antioxidant and hypoglycemic activities of flavonoids from *Flos. Dolichoris lablab* L.[D]. Wuhu: Anhui Polytechnic University. [岳丹伟, 2021. 白扁豆花黄酮类化合物分离鉴定及其抗氧化、降糖活性研究[D]. 芜湖: 安徽工程大学.]
- ZHENG H, WEI QM, MENG CM, et al., 2019. The study of *Rubus suavissimus* S. Lee (RS) improving the diabetic complications of the streptozotocin (STZ) rats by promoting mitophagy [J]. Chin J Ethnomed Ethnopharm, 28(10): 22-26. [郑华, 魏秋梅, 孟春梅, 等, 2019. 瑶山甜茶通过调节线粒体自噬改善糖尿病大鼠并发症的实验研究[J]. 中国民族民间医药, 28(10): 22-26.]
- ZHU YX, SHAO ZB, WU XX, et al., 2021. Research progress of  $\alpha$ -glucosidase inhibitors from marine natural products[J]. J Nanjing Univ Tradit Chin Med, 37(2): 311-320. [朱月霞, 邵仲柏, 吴小小, 等, 2021. 海洋天然产物中  $\alpha$ -葡萄糖苷酶抑制剂研究进展[J]. 南京中医药大学学报, 37(2): 311-320.]
- ZHANG WK, ZHANG XQ, YE WC, et al., 2007. Chemical constituents of the aerial parts of *Euphorbia sosoria*[J]. J Chin Pharm Univ, 38(4): 315-319. [张维库, 张晓琦, 叶文才, 2007. 对叶大戟地上部分的化学成分[J]. 中国药科大学学报, 38(4): 315-319.]
- ZHU YP, LI XT, LI LT, 2011. The source of natural  $\alpha$ -glucosidase inhibitor and its application research situation[J]. J Chin Instit Food Sci Technol, 11(4): 154-160. [朱运平, 李秀婷, 李里特, 2011. 天然  $\alpha$ -葡萄糖苷酶抑制剂来源及应用研究现状[J]. 中国食品学报, 11(4): 154-160.]

ZHU MJ, LIU B, LI FF, 2015. Research progress and development prospect of natural sweeteners[J]. Chin Cond, 40(11): 136-140. [朱明婧, 刘博, 李飞飞, 2015. 天然甜味剂研究进展与开发前景分析[J]. 中国调味品, 40(11): 136-140.]